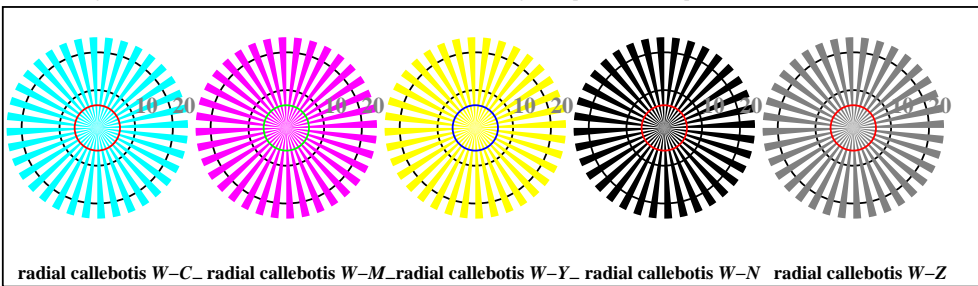


voir des fichiers similaires: <http://130.149.60.45/~farbmetrik/TF93/TF93L0NP.PDF> /PS
informations techniques: <http://www.ps.bam.de> ou <http://130.149.60.45/~farbmetrik>

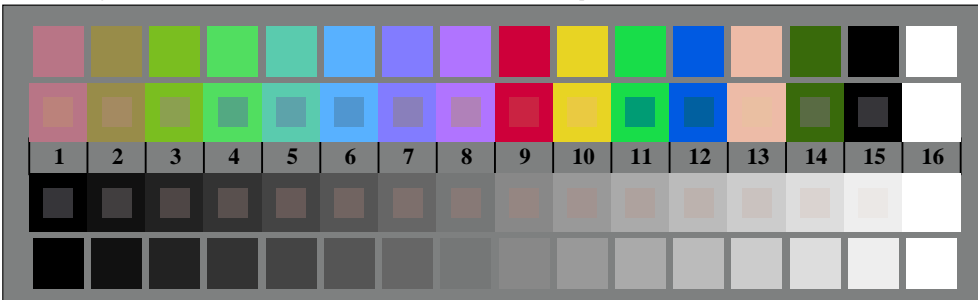
TUB enregistrement: 20150701 - TF93/TF93L0NP.PDF /PS
application pour la mesure des sorties sur offset
TUB matériel: code=rh4ta



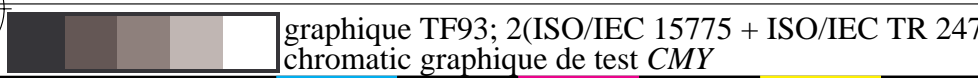
TF930-3, Fig. B1W-: le motif fleuri, 14 CIE test couleurs et 2 + 16 gris étapes (sf); PS operator 4 colorimage



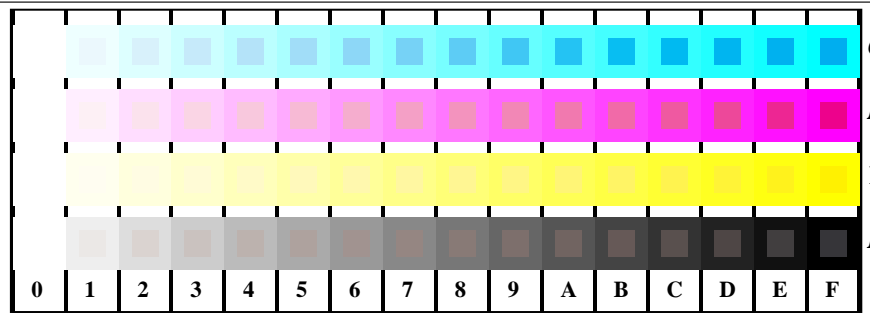
TF930-5, Fig. B2W-: radial callebotis W-C_; W-M_; W-Y_; W-N_; PS operator rgb->rgb_setrgbcolor



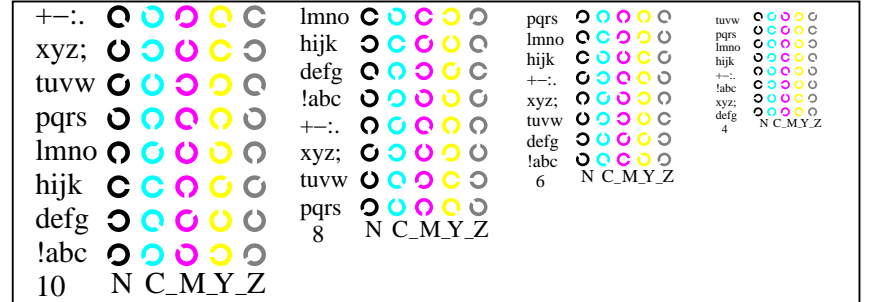
TF930-7, Fig. B3W-: 14 CIE test couleurs et 2 + 16 gris étapes (sf); rgb/cmy0 set(rgb/cmyk)color



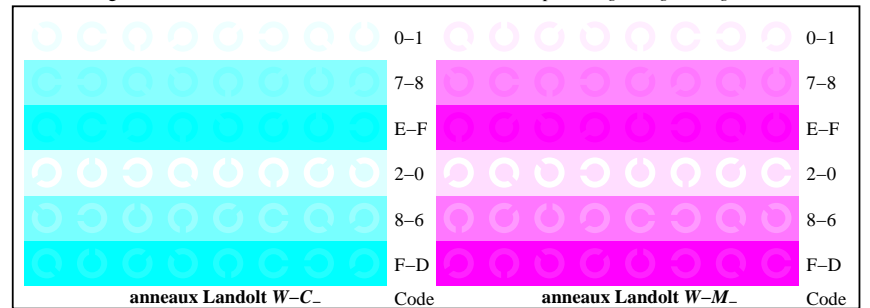
graphique TF93; 2(ISO/IEC 15775 + ISO/IEC TR 24705) entrée: rgb/cmyk -> w/rgb/cmyk-
chromatic graphique de test CMY sortie: aucun changement



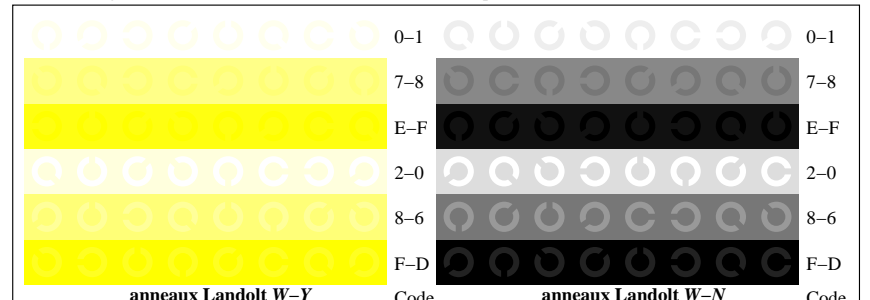
TF931-1, Fig. B4W-: 16 équidistants étapes W-C_; W-M_; W-Y_; W-N; rgb/cmy0 set(rgb/cmyk)color



TF931-3, Fig. B5W-: code et Landolt anneauN; C_; M_; Y_; Z; PS operator rgb->rgb_setrgbcolor



TF931-5, Fig. B6W-: anneaux Landolt W-C_; W-M_; PS operator rgb_setrgbcolor



TF931-7, Fig. B7W-: anneaux Landolt W-Y_; W-N; PS operator rgb_setrgbcolor

